

Таблица 2

Зависимость характерных параметров популяции N_{\pm} , \tilde{N}_{+} от показателя k

| k | $\tilde{N}_{+} \cdot 10^{-5}$ | $N_{+} \cdot 10^{-5}$ | $N_{-} \cdot 10^{-5}$ | $\delta, (\%)$ | α_{+} | α_{-} |
|-------|-------------------------------|-----------------------|-----------------------|----------------|--------------|--------------|
| 0,95 | 8,66 | 11,8 | 4,22 | — | 0,845 | 0,84 |
| 0,96 | 12,0 | 14,7 | 3,80 | 18,3 | 0,865 | 0,854 |
| 0,97 | 17,2 | 19,6 | 3,54 | 12,2 | 0,889 | 0,865 |
| 0,98 | 27,2 | 29,5 | 3,36 | 7,8 | 0,916 | 0,876 |
| 0,99 | 56,8 | 59 | 3,21 | 2,0 | 0,950 | 0,886 |
| 0,999 | 587 | 590 | 3,11 | 0,2 | 0,992 | 0,896 |

$N_0(\alpha)2$, приводят к режиму катастрофического дробления. Более ярко режим внезапного очищения космоса от космического мусора проявляется для популяций, описываемых математической моделью с $k \in (0,1)$.

В табл. 2 (N_{+} — приближенное значение $N_{+}(k)$, δ — погрешность) приведены количественные данные, характеризующие популяцию, которая может демонстрировать упомянутый режим.

Так, например, по табл. 2 найдем, что при $k = 0,95$ и начальном состоянии популяции $N_0/10^5 > 8,66$ при $\alpha > 0,845$ в совокупности КА по истечению некоторого времени задержки произойдет внезапное очищение пространства.

Таким образом, для описания поведения популяции космических аппаратов и их обломков в работе предложена математическая модель. На ее основе определены три типа поведения совокупности данных объектов; регулярное развитие популяции, предельная размерность которой есть приемлемое с точки зрения риска столкновений число; катастрофическое нарастание численности множества орбитальных объектов; регулярное или катастрофическое развитие популяции к большему или малоразмерному равновесному состоянию из неустойчивого равновесного состояния популяции.

Дано определение катастрофического засорения и внезапного очищения ближнего космоса и указаны количественные критерии их наступления.

ЛИТЕРАТУРА

1. Eicher P., Rex D. Debtis chain reactions // AIAA Pap. — 1990. — N 1365. — 9 p.
2. Space debris // The report of the ESA Space Debris Working Group. — 1988. — Р. 1—71.
3. Можорин Ю.А., Чекалин С.В., Гафаров А.А. // Энергия. — 1990. — № 8. — С. 25—29.
4. Вольтерра В. Математическая теория борьбы за существование. — М.: Наука, 1976.

630090, г. Новосибирск, ИТПМ РАН

Поступила в редакцию 2/IX 1993

УДК 539.89+637.226+678

А.М. Молодец, Е.Н. Еремченко

ОБОБЩЕННАЯ ЗАВИСИМОСТЬ ЭЛЕКТРИЧЕСКОГО ОТКЛИКА ПОЛИМЕРНОЙ ПЬЕЗОПЛЕНКИ ОТ ДАВЛЕНИЯ УДАРНОГО СЖАТИЯ

Представлена модель электрического отклика полимерного электрета при одномерном ударно-волновом нагружении, учитывающая нелинейные эффекты при возникновении электрического отклика электрета во время ударного нагружения. На примере поливинилиденфторида показано, что модель дает качественное и количественное истолкование экспериментальных данных по электрическому отклику полимерного электрета до давлений одномерного ударно-волнового сжатия 60 ГПа.

Электретные пьезодатчики на основе поляризованных полимерных пленок (особенно поливинилиденфторида (ПВДФ) [1]) находят все более шир-

© А.М. Молодец, Е.Н. Еремченко, 1994.

рокое применение в ударно-волновых исследованиях твердых тел. Датчики используются как отметчики времени в ударно-волновом эксперименте [2], с их помощью измеряют давление ударного сжатия [3], а также регистрируют профили этого давления во времени [4]. Поэтому экспериментальное построение и теоретическое обоснование калибровочной зависимости удельного заряда q , выделяемого чувствительным элементом датчика в зависимости от давления ударного сжатия σ , — важная задача, которая до настоящего времени полностью не решена.

Авторы [5] пришли к выводу, что в исследованном ими диапазоне давлений экспериментальную зависимость $q(\sigma)$ лучше всего представить тремя полиномами третьей и пятой степеней для различных областей $\sigma - q$. При $0,01 < \sigma < 0,337$ ГПа, $0,02152 < q < 0,43$ мкКл/см²

$$\sigma = 2,86 \cdot 10^{-5} + 0,4415q + 1,027q^2 - 0,541q^3, \quad (1)$$

при $0,337 < \sigma < 2,369$ ГПа, $0,43 < q < 1,85$ мкКл/см²

$$\sigma = -5,47 \cdot 10^{-3} + 0,642q + 0,361q^2 - 7,49 \cdot 10^{-3}q^3, \quad (1a)$$

при $2,372 < \sigma < 10,0$ ГПа, $1,85 < q < 4,088$ мкКл/см²

$$\sigma = -7,36 \cdot 10^{-3} + 0,625q + 0,52q^2 - 0,231q^3 + 0,0978q^4 - 0,0112q^5. \quad (1b)$$

В [6] теоретически описана работа электретного пьезодатчика в ударной волне; в рамках линейного приближения получена прямо пропорциональная зависимость q от деформации η :

$$q = P_0\eta, \quad (2)$$

где P_0 — подгоночная константа, представляющая собой остаточную поляризацию электрета. Это выражение удовлетворительно аппроксимирует данные [5], но недостаточно ясно описывает экспериментальные данные, чем эмпирические соотношения [1]; величина $P_0 = 11,41$ мкКл/см², определенная в [6] по данным [5], оказалась больше, чем остаточная поляризация датчиков [5]. Экспериментальные данные, полученные при более высоких давлениях [7], свидетельствуют, что зависимость $q(\eta)$ существенно отклоняется от прямой. В то же время тот факт, что экспериментальные данные могут быть в той или иной мере описаны с помощью параметров, имеющих ясный физический смысл, представляет очевидное преимущество описания [6].

Перечисленные недостатки (2), по-видимому, в значительной степени обусловлены линейным приближением, принятым в [6]. Действительно, если принять во внимание нелинейные эффекты, то можно сформулировать модель поведения полимерных электретов при ударно-волновом нагружении, которая устраняет перечисленные выше трудности в описании экспериментальных данных. При этом, как следствие, появляется возможность воспользоваться единой аналитической зависимостью, параметры которой имеют определенный физический смысл. В то же время эта зависимость описывает экспериментальные данные с не меньшим успехом, чем эмпирическое представление (1).

Рассмотрим поведение электретной пьезопленки в условиях ударно-волнового одномерного нагружения, принимая во внимание нелинейные эффекты. Вектор поляризации P объема V диэлектрика находится из выражения

$$\bar{P} = \frac{\bar{P}_\Sigma}{V}, \quad (3)$$

где $\bar{P}_\Sigma = \Sigma \bar{p}_i$ — дипольный электрический момент диэлектрика. Под V подразумеваем участок объема чувствительного элемента пленочного датчика толщиной h и единичной площадью, который подвергается одномерному нагружению вдоль h . Векторы P , P_Σ , \bar{p}_i , параллельные направлению нагрузления, обозначим P , P_Σ , p .

Зависимость $V(P)$ за счет изменения концентрации p_i при вариации V показывает влияние одномерного сжатия на P . В этом случае могут играть роль два фактора: при сжатии макрообъема V может изменяться абсолютная величина плеча элементарных диполей и, следовательно, P_Σ . Помимо этого возможно изменение P_Σ и за счет подвижности элементарных диполей, приводящей к изменению p_i — проекции векторов элементарных диполей на направление нагружения. Предположим, что оба эти фактора (как за счет размера, так и за счет подвижности элементарных диполей) можно учесть полиномиальными коэффициентами $\alpha, \beta, \gamma, \dots$ в представлении

$$P_\Sigma = P_\Sigma^0(1 + \alpha(V_0 - V)/V_0 + \beta((V_0 - V)/V_0)^2 + \gamma((V_0 - V)/V_0)^3 + \dots), \quad (4)$$

где P_Σ^0 — величина P_Σ при начальных значениях объема V_0 и температуры T_0 . Ограничивааясь в (4) второй степенью, запишем (3) с помощью (4) в виде

$$P = \frac{P_\Sigma^0(1 + \alpha(V_0 - V)/V_0 + \beta((V_0 - V)/V_0)^2)}{V}. \quad (5)$$

Найдем величину q датчика при сжатии его ударной волной, приводящей к изменению поляризации P . Поскольку плотность тока поляризации датчика j определяется частной производной от P по времени t ($j = \partial P / \partial t = (\partial P / \partial V) \partial V / \partial t$), то после дифференцирования по V выражения (5) получим

$$j = P_\Sigma^0 \left((1 + \alpha + \beta) \frac{\partial(1/V)}{\partial V} \frac{\partial V}{\partial t} + \frac{\beta}{V^2} \frac{\partial V}{\partial t} \right). \quad (6)$$

Из (6) определится $q = \int_0^t j dt$ или $q = \int_{V_0}^V idv$, где τ и v — переменные интегрирования. С учетом (6) запишем

$$q = P_0(1 + \alpha + \beta)(V_0/V - 1) + \beta P_0(V/V_0 - 1), \quad (7)$$

где $P_0 = P_\Sigma^0/V_0$ — остаточная поляризация полимерного пьезоматериала.

Определим деформацию в ударной волне: $\eta = 1 - V/V_0$, где V берется на ударной адиабате при значении σ ; перепишем (7) в виде

$$q = A\eta/(1 - \eta) + B\eta^2/(1 - \eta), \quad (8)$$

$A = P_0(1 + \alpha)$, $B = P_0\beta$. Считаем, что известна ударная адиабата материала чувствительного элемента датчика $D = C_0 + Su$ (D — скорость ударной волны, u — массовая скорость, C_0 , S — параметры ударной адиабаты). В этом случае связь между σ и η на ударной адиабате задается выражением [8]

$$\sigma = \rho_0 C_0^2 \eta / (1 - S\eta)^2, \quad (9)$$

где ρ_0 — начальная плотность материала. Из (8) и (9) при нагружении датчика одномерной ударной волной связь q и σ определяется изменением объема и двумя подгоночными коэффициентами A и B , которые содержат параметры α и β , характеризующие поведение элементарных диполей при ударном сжатии в соответствии с (3) — (8).

Представив экспериментальные данные $q(\sigma)$ с помощью (8) и (9) в виде $q(\eta)$, легко найти коэффициенты A и B . Однако прежде сделаем ряд общих замечаний. Во-первых, связь между давлением и деформацией в (9) определяется по ударной адиабате $D = C_0 + Su$ (справедливой при значительных давлениях), а упругопластическими эффектами в полимере можно пренебречь. Применение (8) и (9) ограничено со стороны малых давлений величинами порядка динамического предела упругости полимера. Во-вторых,

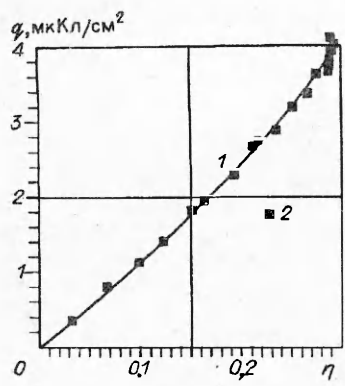


Рис. 1. Зависимость удельного заряда q от деформации η .
1 — при $A = 10,6 \text{ мкКл/см}^2$, $B = -3,995 \text{ мкКл/см}^2$,
2 — экспериментальные данные [5].

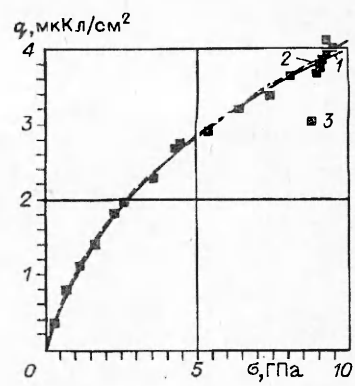


Рис. 2. Сравнение описаний экспериментальных данных по (8) (1), по (1) [5] (2), по экспериментальным данным [5] (3).

коэффициенты A и B , определенные при сжатии, могут отличаться от таковых в волне разгрузки.

Действительно, поведение элементарных диполей в волне сжатия необратимо. Например, может возникнуть необратимая дополнительная поляризация и тогда в волне разгрузки будут «работать» новые элементарные диполи. С другой стороны, возможна и необратимая деполяризация, как это отмечалось в [9]. На величину сигнала датчика в волне разгрузки должен влиять необратимый ударно-волновой разогрев материала, приводящий к увеличению его удельного объема [9]. Все эти причины приведут к тому, что калибровочная кривая $q(\eta)$, полученная в волнах сжатия, будет отличаться от таковой в волне разгрузки. Поскольку подвижность фрагментов полимеров существенно зависит от температуры, то следует ожидать и прямого влияния температуры на величину сигнала датчика, что подтверждается экспериментально [10]. Описание экспериментальных данных в рамках предложенной модели при ударно-волновом сжатии иллюстрируется рис. 1—3.

На рис. 1 представлены данные после того, как каждому значению $q(\sigma)$ из [5] сопоставлено в соответствии с (9) значение η . При этом для поливинилиденфторида с $\rho_0 = 1,8 \text{ г/см}^3$ использовалась ударная адиабата $D = 2,16 + 1,68\sigma \text{ км/с}$, построенная при $P = 1 \div 30 \text{ ГПа}$ [9] на базе экспериментальных данных по ударно-волновому сжатию ПВДФ [1]. По данным $q(\eta)$ [5] определены коэффициенты A и B ($10,600$ и $-3,995 \text{ мкКл/см}^2$ соответственно) для уравнения (8) и затем построена зависимость $q(\eta)$ (см. рис. 1). При малых деформациях, когда можно пренебречь второй ее степенью, зависимость (8) линейна, однако коэффициент пропорциональности равен не остаточной поляризации P_0 , как в [6], а определяется комбинацией величин P_0 и α .

При $P_0 = 9,2 \text{ мкКл/см}^2$ [5] вычислено, что $\alpha = 0,152$, $\beta = 0,434$. Очевидно эти величины являются микроструктурными характеристиками пьезоэффекта в поливинилиденфториде, используемом в [5].

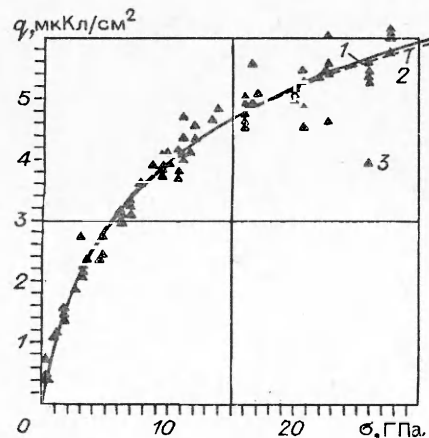


Рис. 3. Прогностическая способность модели.
1 — экстраполяция графика 1 рис. 2 в область давлений 20—30 ГПа; 2 — график (8) при $A = 10,993 \text{ мкКл/см}^2$, $B = -5,237 \text{ мкКл/см}^2$ (по экспериментальным данным [7]);
3 — эксперимент [7].

В целом же зависимость $q(\sigma)$ существенно нелинейна, чем и обусловлена ее громоздкая аппроксимация полиномами (1). График полиномов (1) из [5] показан на рис. 2, 2. Кривые 1 и 2 на рис. 2 практически не различаются, это значит, что при $\sigma \leq 10$ ГПа выражение (8) с найденными A и B описывает экспериментальные данные с той же детальностью, что и эмпирические соотношения (1).

Продолжение кривой 1 рис. 2 в область с $\sigma \leq 30$ ГПа хорошо совпадает с независимыми экспериментальными данными [7]. На рис. 3 кривой 1 показана зависимость (8) с коэффициентами A и B , определенными по [5] при $\sigma < 10$ ГПа ($A = 10,600$ и $B = -3,995$ мкКл/см² при $\alpha = 0,152$ и $\beta = -0,434$), а кривая 2 — по экспериментальным данным [7] при $\sigma < 30$ ГПа ($A = 10,993$ и $B = -5,237$ мкКл/см² при $\alpha = 0,195$ и $\beta = -0,569$). Видно, что кривая 1 в диапазоне 20—30 ГПа практически совпадает с кривой 2 и, естественно, хорошо аппроксимирует сами экспериментальные данные [7].

Рис. 3 также свидетельствует о том, что функциональный вид (8) не изменяется в широком диапазоне давлений ударного сжатия. Это означает, что механизм возникновения электрического отклика полимерной пьезопленки одинаков как при малых, так и при больших давлениях, несмотря на то, что температуры ударного разогрева достигают величин порядка тысячи градусов, т.е. полимерный материал сохраняет свои первоначальные пьезоэлектрические характеристики вплоть до давлений ударного сжатия 30 ГПа.

В работе [7] приведены экспериментальные данные по электрическому отклику ПВДФ в области 28—61 ГПа, где отмечено, что чувствительность ПВДФ к давлению ударного сжатия в этой области меньше, чем при $\sigma = 0 \div 28$ ГПа. Иными словами, калибровочная кривая $q(\sigma)$ как будто испытывает излом в точке $\sigma_1 \sim 28$ ГПа (см. рис. 2 [7]). Такое поведение калибровочной кривой можно было бы истолковать в рамках предлагаемой трактовки (3)—(8) следующим образом. Пусть давлению σ_1 соответствует на ударной адиабате значение объема V_1 и соответственно деформации η_1 .

Тогда, представив $q = \int_{V_0}^V j dv$ суммой

$$q = \int_{V_0}^{V_1} j dv + \int_{V_1}^V j dv, \quad (10)$$

с помощью (6) аналогично (7) и (8) получим

$$q = \frac{A\eta}{1-\eta} + \frac{B\eta^2}{1-\eta_1} + \frac{A_1\eta_2}{1-\eta_2} + \frac{B_1\eta_2^2}{1-\eta_2}, \quad (11)$$

где $\eta_2 = (\eta - \eta_1)/(1 - \eta_1)$; A_1 и B_1 подлежат определению выше точки излома (σ_1, η_1) . Определить A_1 и B_1 можно так же, как это сделано для A и B , использовав выражение (9) для представления экспериментальных данных в координатах $q - \eta$, а затем, минимизируя отклонения экспериментальных точек от кривой, найти оптимальные значения. Первая часть этого расчета проделана с данными [7], и ее результаты показаны на рис. 4. Однако выполнение второй части процедуры в настоящее время признано нецелесообразным по следующим причинам. Во-первых, ударная адиабата $D = C_0 + S u$ определена лишь в диапазоне до 30 ГПа. Поскольку же сжатие ПВДФ в области 50—70 ГПа близко к предельному $\eta = 1/S$, то пользоваться адиабатой [1—9] в этой области следует осторожно. Во-вторых, в координатах $(q - \eta)$ излом кривой, которую можно было бы провести через экспериментальные точки (рис. 4, 2, 3), практически исчезает. При этом весь массив экспериментальных данных равнозначно группируется около графика (8) с коэффициентами $A = 10,993$ мкКл/см², $B =$

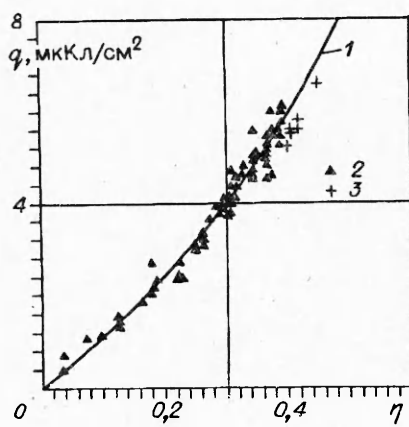


Рис. 4. Электрический отклик ПВДФ q при больших деформациях η .

1 — график (8) при $A = 10.993 \text{ мкКл}/\text{см}^2$, $B = -5.237 \text{ мкКл}/\text{см}^2$, продолженный до 60 ГПа; 2 — экспериментальные данные [7] для $\sigma = 0 + 28 \text{ ГПа}$; 3 — то же для $\sigma = 28 + 60 \text{ ГПа}$.

следовательно в соответствии с (8), и изменения удельного заряда на одну и ту же величину при большом сжатии, требуются большие давления, что и означает уменьшение чувствительности электрического отклика пьезопленки. Но очевидно окончательный вывод по этому вопросу требует дополнительных экспериментальных данных.

Таким образом, можно сказать, что предложенная модель электрического отклика полимерного электрета при ударно-волновом нагружении оказывается в состоянии дать качественное и количественное истолкование экспериментальных данных в диапазоне давлений ударного сжатия до 60 ГПа.

Авторы выражают благодарность С.С. Набатову и А.П. Курто за полезные дискуссии при выполнении данной работы.

ЛИТЕРАТУРА

1. Bauer F., in: Shock Waves in Condensed Matter—1981, eds. W.J. Nellis, L7 Seaman and R.A. Graham (Amer. Inst. Phys., 1982). — P. 251—266.
2. Борисенок В.А., Морозов В.А., Новицкий Е.З. / В сб.: 9 Всесоюз. совещ. по детонации. — Черноголовка, 1988. — Т. 1. — С. 188—192.
3. Lemar E.R. et al, in: Shock Waves in Condensed Matter—1985, eds. Y.M. Gupta (Plenum Press, New York, 1986). — P. 503—508.
4. Gustavson P.K., Tasker D.G., Forbes J.W. / In: Shock Waves in Condensed Matter—1991, eds. S.C. Schmidt, R.D. Dick, J.W. Forbes, D.G. Tasker, 1992, Elsevier Science Publishers B.V. — P. 905—908.
5. Graham R.A. et al, in: Shock Waves in Condensed Matter—1991, eds. S.C. Schmidt, R.D. Dick, J.W. Forbes, D.G. Tasker, 1992, Elsevier Science Publishers B.V. — P. 883—886.
6. Lynch C.S., Charest J.A., in: Shock Waves in Condensed Matter—1991, eds. S.C. Schmidt, R.D. Dick, J.W. Forbes, D.G. Tasker, 1992, Elsevier Science Publishers B.V. — P. 901—904.
7. Chartagnac P., et al, in: Shock Waves in Condensed Matter—1991, eds. S.C. Schmidt, R.D. Dick, J.W. Forbes, D.G. Tasker, 1992, Elsevier Science Publishers B.V. — P. 893—896.
8. Маккуин Р. и др. / В сб.: Высокоскоростные ударные явления. — Москва: Мир, 1973. — С. 299—400.
9. Набатов С.С., Якушев В.В. ФГВ. — 1993, (в печати).
10. Solie D.J., et al, in: Shock Waves in Condensed Matter—1991, eds. S.C. Schmidt, R.D. Dick, J.W. Forbes, D.G. Tasker, 1992, Elsevier Science Publishers B.V. — P. 891—892.

142432, г. Черноголовка,
ИХФ РАН

Поступила в редакцию 15/XII 1993